

# Proyecto Final de Reconocimiento de Patrones.

## Detección de Sargazo

Aguilar Luna Gabriel Daniel, Rodríguez Agiss Zuriel Uzai

**Abstract**—En este proyecto se busca apoyar a la solución al problema de sargazo en la costa del caribe en México por medio de un sistema que efectúa parte de los temas vistos en la materia de reconocimiento de patrones para la detección del sargazo en imágenes. Esto se llevará a cabo por medio de la caracterización y clasificación de texturas

**Index Terms**—texturas, k-means, matriz de coocurrencias, hsv, entropía, energía, sargazo

### I. OBJETIVO

Se espera que se realice análisis de las imágenes para obtener la tarea de clasificar la escena tomando como prioridad el sargazo

### II. INTRODUCTION

El sargazo ha representado un problema para las poblaciones de Cancún y Yucatán principalmente, e incluso ha incrementado en los últimos meses en la región del Caribe, y se apunta a niveles incluso similares a los de 2018, cuando supuso una pesadilla para la actividad turística.

Un reporte de julio de 2020 elaborado por las secretarías de Turismo y de Medio Ambiente y de Recursos Naturales, entre otras dependencias, advirtió que el sargazo ocasionó que comunidades de pastos marinos fueran reemplazadas por algas calcáreas entre 2014 y 2015, lo que tuvo como resultado una pérdida de la biomasa debajo de la superficie cubierta por las algas estimada entre 61.6 y 99.5



Fig. 1. Sargazo en playas de Cancún, Quintana Roo

La amenaza del sargazo ha llegado a tal grado que se nos encomendó ayudar a la Red de Monitoreo del Sargazo con un sistema de detección de sargazo mediante el reconocimiento de patrones, la cuál es una herramienta para informar y alertar sobre del arribo masivo del sargazo en playas de Cancún y Riviera Maya. Para ello se hará uso de los siguientes tópicos:

#### A. Análisis de texturas

El analisis de texturas hace referencia a la caracterización de las regiones de una imagen por su contenido de textura. El analisis de texturas intenta cuantificar las cualidades intuitivas descritas por terminos como áspero, suave, sedoso o accidentado en funcion de la variación espacial en las intensidades de píxeles. En este sentido, la rugosidad o bache se refiere a variaciones en los valores de intensidad, o niveles de gris. El analisis de texturas se utiliza en varias aplicaciones, incluyendo la teledeteccion, la inspección automatizada y el procesamiento de imagenes médicas. El análisis de texturas se puede utilizar para encontrar los límites de textura, denominados segmentacion de texturas. El análisis de texturas puede ser util cuando los objetos de una imagen se caracterizan más por su textura que por la intensidad, y las tecnicas de umbral tradicionales no se pueden utilizar de forma eficaz. Es posible usar metodos estadísticos para el analisis de texturas como por ejemplo:

- Analizar la distribucion espacial de valores de gris es una calidad que define la textura.
- Analizar la distribucion espacial de los valores de gris, se computan características locales de la textura. Ejemplos:
  - Media y varianza.
  - Co-ocurrencia y diferencias de niveles de gris.

#### B. Clasificador K-Means

El algoritmo Kmeans es un algoritmo iterativo que intenta dividir el conjunto de datos en subgrupos (clústeres) distintos no superpuestos definidos previamente por K donde cada punto de datos pertenece a un solo grupo. Intenta hacer que los puntos de datos intra-clúster sean lo más similares posible y al mismo tiempo mantiene los clústeres lo más diferentes (lejos) posible. Asigna puntos de datos a un grupo de modo que la suma de la distancia al cuadrado entre los puntos de datos y el centroide del grupo (media aritmética de todos los puntos de datos que pertenecen a ese grupo) es mínima. Mientras menos variación tengamos dentro de los conglomerados, más homogéneos (similares) serán los puntos de datos dentro del mismo conglomerado.

### C. Superpíxeles

Las técnicas de superpíxeles segmentan una imagen en regiones considerando medidas de similitud definidas mediante características perceptivas. Es decir, a diferencia de las cuencas hidrográficas y MSER, las técnicas de superpíxeles crean grupos de píxeles que se ven similares. La motivación es obtener regiones que representen descripciones significativas con muchos menos datos que cuando se utilizan todos los píxeles de una imagen. La premisa es que al reducir el número de primitivas, se reduce la redundancia reduciendo así la complejidad de las tareas de reconocimiento. Además, los superpíxeles reemplazan la estructura rígida de píxeles al delinear regiones que mantienen el significado en la imagen, por lo que las regiones brindan información sobre la estructura de la escena, lo que hace que otras tareas de procesamiento sean más simples que usar píxeles de una sola imagen. En general, las técnicas de superpíxeles se basan en medidas que buscan similitudes de color y medidas de la forma de las regiones. El proceso de segmentación también incorpora bordes o fuertes cambios de intensidad para delinear regiones.

### III. DESARROLLO

Para el desarrollo de este proyecto se cuenta con el siguiente tipo de imágenes a procesar

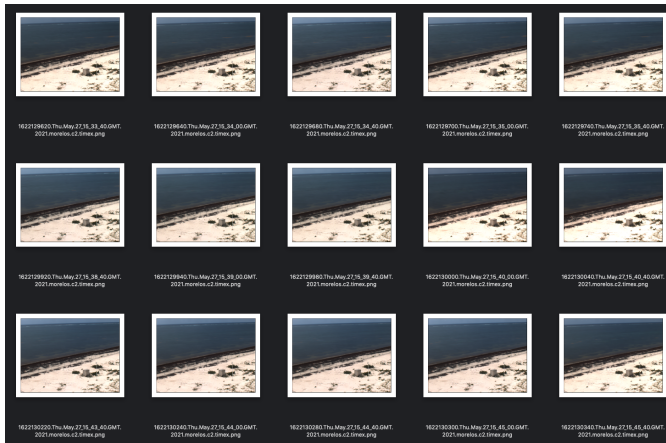


Fig. 2. Muestra de ejemplo de imágenes a ser usadas para entrenamiento y prueba

Lo primero que se tuvo que hacer fue un preprocesamiento en la que se decidió usar el espectro HSV de la imagen en lugar de la imagen original por la información valiosa que ofrece

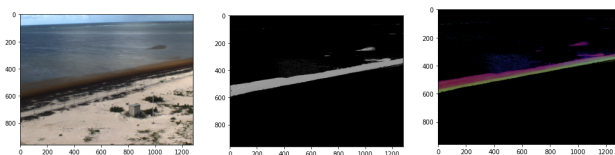


Fig. 3. Al inicio se contempló transformar la imagen al espectro de gris, pero se observó que se perdía información relevante por lo que usamos los valores HSV

Posteriormente se procedió a calcular los superpíxeles, pero en nuestras imágenes de espectro HSV.

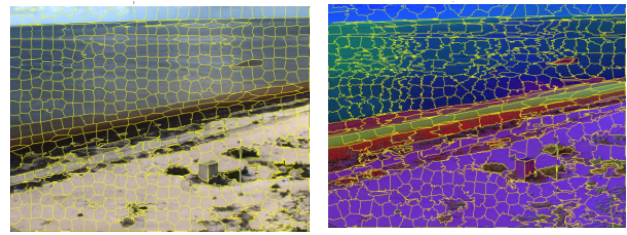


Fig. 4. Superpíxeles generados automáticamente. Se generaron también en la imagen original con fines meramente de contraste

Se generan las matrices de co-ocurrencia y se calcula la entropía y energía

$$Energía = \sum_{i,j=1}^N (P_{ij})^2$$

$$Entropía = \sum_{i,j=1}^N P_{ij}(i-j)^2$$

Y para finalizar, se realiza la clasificación con k-means

### IV. RESULTADO

A continuación se aprecian nuestros resultados obtenidos. En las imágenes se debe apreciar que el color azul representa a nuestro sargazo, y que si bien no diferencia entre la playa y la arena, es lo deseado ya que solo nos interesa la clase de sargazo.

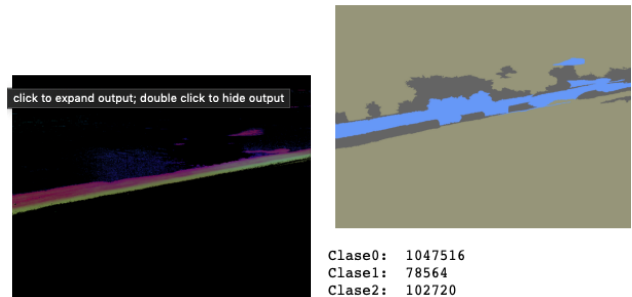


Fig. 5. Probando con la imagen de la izquierda se obtiene el resultado de la derecha incluyendo la cantidad de píxeles

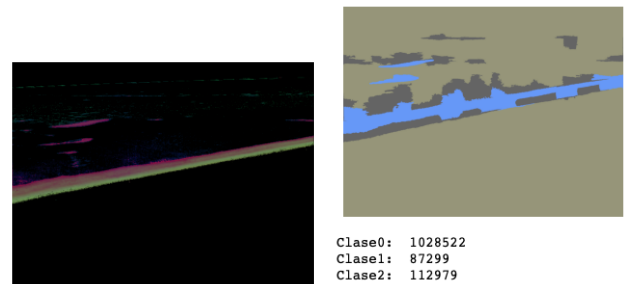


Fig. 6. Probando con la imagen de la izquierda se obtiene el resultado de la derecha incluyendo la cantidad de píxeles

También se hizo un análisis de movimiento del sargazo basándonos en una secuencia de dos imágenes, y obtuvimos el siguiente resultado

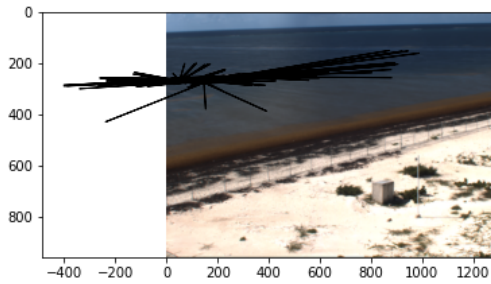


Fig. 7. Se aprecia que hay un movimiento horizontal de izquierda a derecha

## V. CÓDIGO

```
1 import matplotlib.pyplot as plt
2 import skimage as ski
3 import numpy as np
4 import imageio as io
5 from shapely.geometry import Polygon, MultiPolygon
6 from descartes import PolygonPatch
7 from math import log
8 from sklearn.neighbors import KNeighborsClassifier
9 from sklearn.cluster import KMeans
10 from skimage.segmentation import slic
11 from skimage.segmentation import mark_boundaries
12 import matplotlib.image as pltI
13 import os
14 import cv2
15
16 # COM horizontal
17 def sp_COMMaker_h(imagen, marker, label_n, norm =
18     False):
19     matriz_auxiliar = np.zeros((np.amax(imagen)+1,)
20         *2, dtype=int)
21     dimensiones = imagen.shape
22     normalizador = 0
23     for i in range(dimensiones[0]):
24         for j in range(dimensiones[1]-1):
25             if (marker[i][j] == label_n and marker[i
26 ] [j+1] == label_n):
27                 matriz_auxiliar[imagen[i][j]][imagen
28 [i][j+1]] += 1
29                 normalizador += 2
30     COM = matriz_auxiliar + np.transpose(
31     matriz_auxiliar)
32     return (COM/normalizador) if norm else COM
33
34 # COM vertical
35 def sp_COMMaker_v(imagen, marker, label_n, norm =
36     False):
37     matriz_auxiliar = np.zeros((np.amax(imagen)+1,)
38         *2, dtype=int)
39     dimensiones = imagen.shape
40     normalizador = 0
41     for i in range(dimensiones[0]-1):
42         for j in range(dimensiones[1]):
43             if (marker[i][j] == label_n and marker[i
44 +1][j] == label_n):
45                 matriz_auxiliar[imagen[i][j]][imagen
46 [i+1][j]] += 1
47                 normalizador += 2
48     COM = matriz_auxiliar + np.transpose(
49     matriz_auxiliar)
50     return (COM/normalizador) if norm else COM
51
52 # COM diagonal (esq.inf.izq -> esq.sup.der.)
53 def sp_COMMaker_45(imagen, marker, label_n, norm =
54     False):
55     matriz_auxiliar = np.zeros((np.amax(imagen)+1,)
56         *2, dtype=int)
57     dimensiones = imagen.shape
58     normalizador = 0
59     for i in range(1,dimensiones[0]):
60         for j in range(dimensiones[1]-1):
61             if (marker[i][j] == label_n and marker[i
62 -1][j+1] == label_n):
63                 matriz_auxiliar[imagen[i][j]][imagen
64 [i-1][j+1]] += 1
65                 normalizador += 2
66     COM = matriz_auxiliar + np.transpose(
67     matriz_auxiliar)
68     return (COM/normalizador) if norm else COM
69
70 # COM diagonal (esq.sup.izq. -> esq.inf.der.)
71 def sp_COMMaker_135(imagen, marker, label_n, norm =
72     False):
73     matriz_auxiliar = np.zeros((np.amax(imagen)+1,)
74         *2, dtype=int)
75     dimensiones = imagen.shape
```

```

59     normalizador = 0
60     for i in range(1,dimensiones[0]):
61         for j in range(1,dimensiones[1]):
62             if (marker[i][j] == label_n and marker[i
63                 -1][j-1] == label_n):
64                 matriz_auxiliar[imagen[i][j]][imagen
65                     [i-1][j-1]] += 1
66                 normalizador += 2
67     COM = matriz_auxiliar + np.transpose(
68         matriz_auxiliar)
69     return (COM/normalizador) if norm else COM
70
71 def entropy(COM_n):
72     entropia = 0
73     for renglon in COM_n:
74         for value in renglon:
75             entropia += (value*log(value)) if (value
76                 >0) else 0
77     return -entropia
78
79 def homogeneity(COM_n):
80     homogeneidad = 0
81     Y, X = COM_n.shape
82     for i in range(Y):
83         for j in range(X):
84             homogeneidad += COM_n[i][j]/(1+abs(i-j))
85     return homogeneidad
86
87 #Angular Second Moment, Energy
88 def smoothness(COM_n):
89     ASM = 0
90     Y, X = COM_n.shape
91     for i in range(Y):
92         for j in range(X):
93             ASM += COM_n[i][j]**2
94     return ASM
95
96 def contrast(COM_n,k=2,n=1):
97     contraste = 0
98     Y, X = COM_n.shape
99     for i in range(Y):
100         for j in range(X):
101             contraste += ((i-j)**k)*(COM_n[i][j]**n)
102     return contraste
103
104 def sp_COMs(imagen, marker):
105     vcs_COM = []
106     for nSP in np.unique(marker):
107         COM_h = sp_COMMaker_h(rgb2gray(imagen),
108             marker, nSP, True)
109         #COM_v = sp_COMMaker_v(rgb2gray(imagen),
110             marker, nSP, True)
111         vcs_COM.append([entropy(COM_h), smoothness(
112             COM_h)])
113     return vcs_COM
114
115 def rgb2gray(imagen):
116     gris = ((imagen[:, :, 0]+imagen[:, :, 1]+imagen
117        [:, :, 2])/3).astype(int)
118     return gris
119
120 def mostrarSP(superpíxeles, clasi, colores, imagen,
121     guardar='aux'):
122     superpixel_aux = np.zeros(imagen.shape, dtype=np
123         .uint8)
124     Y,X = superpíxeles.shape
125     for i in range(Y):
126         for j in range(X):
127             superpixel_aux[i,j] = colores[clasi[
128                 superpíxeles[i,j]-1]]
129     plt.imshow(superpixel_aux)
130     plt.axis('off')
131     plt.show()
132     pltI.imsave('./resultados/Kmeans'+guardar+'.png'
133         , superpixel_aux)
134
135 def get_SP(imagen, nombre='', **kwargs):
136     show = (kwargs["show"] if ("show" in kwargs)
137         else False)
138     save = (kwargs["save"] if ("save" in kwargs)
139         else False)
140     i_sp = slic(imagen, n_segments=600, start_label
141         =1, compactness=8.0, sigma=1.0)
142     if show:
143         plt.imshow(mark_boundaries(imagen, i_sp))
144         plt.axis('off')
145         plt.title(nombre, color='darkgray')
146         plt.show()
147     if save:
148         pltI.imsave('sp/sp'+nombre+'_'+str(np.amax(
149             i_sp))+ '_n600_c8_sl'+nombre[11:21]+'.png',
150             mark_boundaries(imagen, i_sp))
151     return i_sp
152
153 def get_SP_hsv(imagen, nombre='', **kwargs):
154     show = (kwargs["show"] if ("show" in kwargs)
155         else False)
156     save = (kwargs["save"] if ("save" in kwargs)
157         else False)
158     i_sp = slic(imagen, n_segments=600, start_label
159         =1, compactness=8.0, sigma=1.0)
160     if show:
161         plt.imshow(mark_boundaries(imagen, i_sp))
162         plt.axis('off')
163         plt.title(nombre, color='darkgray')
164         plt.show()
165     if save:
166         pltI.imsave('sp/sp'+nombre+'HSV_'+str(np.
167             amax(i_sp))+ '_n600_c8_sl'+nombre[11:21]+'.png',
168             mark_boundaries(imagen, i_sp))
169     return i_sp

```

## VI. CONCLUSIONES

## VII. REFERENCIAS

- "El sargazo ensombrece la recuperación del turismo en el Caribe mexicano" (29 de junio, 2021) Expansión. Consultado de <https://expansion.mx/empresas/2021/06/29/sargazo-recuperacion-turismo-caribe-cancun>
- (s.a) (s.f) matplotlib.pyplot.plot Documentacion de Matplotlib. Consultado de <https://matplotlib.org/stable/api/as7gen/matplotlib.pyplot.plot.html>
- (s.a) (s.f) matplotlib.contour.QuadContourSet Documentacion de Matplotlib. Consultado de <https://matplotlib.org/stable/api/contourapi.html#matplotlib.contour.QuadContourSet>
- (s.a) (s.f) matplotlib.image.AxesImage Documentacion de Matplotlib. Consultado de <https://matplotlib.org/stable/api/imageapi.html#matplotlib.image.AxesImage>
- (s.a) (s.f) matplotlib.pyplot.imshow Documentacion de Matplotlib. Consultado de <https://matplotlib.org/stable/api/asgen/matplotlib.pyplot.imshow.html>
- (s.a) (s.f) matplotlib.patches.Patch. Documentacion de Matplotlib. Consultado de <https://matplotlib.org/stable/api/asgen/matplotlib.patches.Patch.html>
- (s.a) (s.f) Shapely and geometric objects. Consultado de <https://automating-gisprocesses.github.io/site/notebooks/L1/geometric-objects.html>
- (s.a) (s.f) matplotlib.path. Documentacion de Matplotlib. Consultado de <https://matplotlib.org/stable/api/pathapi.html>

- (s.a) (s.f) matplotlib.pyplot.plot. Documentacion de Matplotlib. Consultado de <https://matplotlib.org/stable/api/asgen/matplotlib.pyplot.plot.html>
- (s.a) (s.f) Image Resolution and DPI. Consultado de <https://largeprinting.com/resources/image-resolution-anddpi.html>
- (s.a)(26 de dic, 2020) Apply a Gauss filter to an image with Python. Geeks for Geeks. Consultado de <https://www.geeksforgeeks.org/apply-a-gauss-filter-to-animage-with-python/>
- (s.a) (14 de julio, 2019) Python PIL GaussianBlur() method. Geeks for Geeks. Consultado de <https://www.geeksforgeeks.org/python-pil-gaussianblurmethod/>
- Banterla, D. (s/f) Texturas. Fac. Informatica San Sebastian. Consultado de <http://www.ehu.es/ccwintco/uploads/d/d7/Texturas.pdf>
- Dabbura, I. (17 de setiembre, 2018) K-means Clustering: Algorithm, Applications, Evaluation Methods, and Drawbacks. Towards data science. Consultado de <https://towardsdatascience.com/k-means-clusteringalgorithm-applications-evaluation-methods-and-drawbacksaa03e644b48a>
- gene (13 de abril, 2017) Geopandas Polygon to matplotlib patches Polygon conversion Stack Exchange. Consultado de <https://gis.stackexchange.com/questions/197945/geopandaspolygon-to-matplotlib-patches-polygon-conversion>
- gene (4 de junio, 2014). Converting Matplotlib contour objects to Shapely objects. Stack Overflow. Consultado de <https://gis.stackexchange.com/questions/99917/convertingmatplotlib-contour-objects-to-shapely-objects>
- Ghandi, R. (5 de Mayo, 2018) Naive Bayes Classifier Towards Data Science. Consultado de <https://towardsdatascience.com/naive-bayes-classifier81d512f50a7c>
- Gillies, S.(27 de sep, 2020) The Shapely User Manual. Shapely. Consultado de <https://shapely.readthedocs.io/en/stable/manual.html>
- Hall-Beyer, M. (2017) GLCM Texture: A Tutorial v. 3.0. University of Calgary. Consultado de <https://prism.ucalgary.ca/bitstream/handle/1880/51900/texture%20tutorial%20v%2030%20180206.pdf?sequence=11&isAllowed=y>
- jodag. (6 de mayo, 2020) Matplotlib - unable to save image in same resolution as original image. Stack Overflow. Consultado de <https://stackoverflow.com/questions/34768717/matplotlibunable-to-save-image-in-same-resolution-as-originalimage34769840>
- Korstanje, J. (7 de abril, 2021) The k-Nearest Neighbors (kNN) Algorithm in Python. RealPython. Consultado en <https://realpython.com/knn-python/>
- Lin, W. et al. (2010) Image Segmentation Using the Kmeans Algorithm for Texture Features. World Academy of Science, Engineering and Technology International Journal of Computer and Information Engineering
- Navlani, A. (2 de agosto, 2018) KNN Classification using Scikit-learn. Datacamp. Consultado en <https://www.datacamp.com/community/tutorials/k-nearestneighbor-classification-scikit-learn>
- R, Kirsten et al. (5 de septiembre, 2019) Performance of two multiscale texture algorithms in classifying silver gelatine paper via k-nearest neighbors. Open Archive Toulouse Archive Ouverte. Consultado de <https://hal.archives-ouvertes.fr/hal02279362/document>
- Rosebrock, A. (8 de agosto, 2016) k-NN classifier for image classification. pyImageSearch. Consultado en <https://www.pyimagesearch.com/2016/08/08/k-nn-classifierfor-image-classification/>
- Rosebrock, A. (28 de julio, 2014) A slic superpixel tutorial using python. pyImageSearch. Consultado en <https://www.pyimagesearch.com/2014/07/28/a-slic-superpixel-tutorial-using-python/>
- Rosebrock, A. (29 de diciembre, 2014) Accessing individual superpixel segmentations python. Consultado en <https://www.pyimagesearch.com/2014/12/29/accessing-individual-superpixel-segmentations-python/>
- tom10 (23 de Marzo, 2015) Python - convert contours to image. Stack Overflow. Consultado de <https://stackoverflow.com/questions/29213238/pythonconvert-contours-to-image2921417>
- A. Rosebrock, "k-NN classifier for image classification - PyImageSearch", PyImageSearch, 2021. [Online]. Available: <https://www.pyimagesearch.com/2016/08/08/k-nn-classifier-for-image-classification/>. [Accessed: 26- Jul- 2021].
- scikit-learn, "sklearn.neighbors.KNeighborsClassifier — scikit-learn 0.24.2 documentation", Scikit-learn.org. [Online]. Available: <https://scikit-learn.org/stable/modules/generated/sklearn.neighbors.KNeighborsClassifier.html#sklearn.neighbors.KNeighborsClassifier.fit>. [Accessed: 26- Jul- 2021].
- scikit-image, "Module: segmentation — skimage v0.19.0.dev0 docs", Scikit-image.org, 2021. [Online]. Available: <https://scikit-image.org/docs/dev/api/skimage.segmentation.html>. [Accessed: 29- Jul- 2021].
- scikit-learn, "sklearn.cluster.KMeans — scikit-learn 0.24.2 documentation", Scikit-learn.org, 2021. [Online]. Available: <https://scikit-learn.org/stable/modules/generated/sklearn.cluster.KMeans.html>. [Accessed: 29- Jul- 2021].